

一階非ホロノミック拘束を持つ Control Moment Gyroscope の非線形追従制御

2009SE299 鷺津翔太

指導教員：高見 勲

1 はじめに

本研究で扱う Control Moment Gyroscope(以下 CMG) は 2 入力 4 状態の劣駆動システムである. CMG には Rotor を回転させるモータと, 同軸上の Gimbal を傾けさせるモータが存在し, ジャイロ効果により駆動力のない他の Gimbal を動かす角運動量, トルクを発生する装置である. このような劣駆動システムは, 平衡点における線形近似システムが可制御でない, 非ホロノミック拘束を受けることが知られている. そこで, 本研究では, Backstepping 手法を用いた非線形制御により, 駆動力のない Gimbal を目標軌道に追従させる制御系設計を考える.

2 数学モデル

図 1 は, CMG の概略図である. 本研究では Gimbal4 をロックした場合, つまり Gimbal4 の角度 $q_4(t)$ と角速度 $\omega_4(t)$ について, $q_4(t) = \omega_4(t) = 0$ となる状態を考える. CMG には Rotor1 を回転させるトルク $T_1(t)$ と Gimbal2 を回転させるトルク $T_2(t)$ が存在する. $q_1(t)$ は Gimbal2 からみた Rotor1 の相対角度を表し, $\omega_1(t)$ は Rotor1 の角速度である. $q_2(t)$ は Gimbal3 からみた Gimbal2 の相対角度を表し, 角速度は $\omega_2(t)$ である. $q_3(t)$ は Gimbal3 の角度を表し, 角速度を $\omega_3(t)$ とする. このとき, CMG の Euler-Lagrange 方程式は (1), (2), (3) となる.

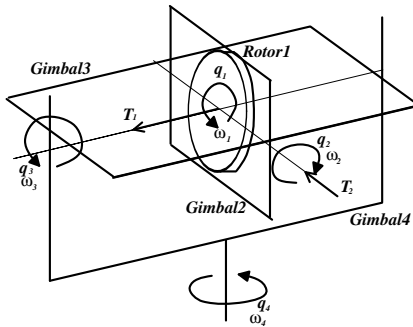


図 1 Schematic representation CMG

$$J_D \dot{\omega}_1 + J_D \dot{\omega}_3 \cos q_2 - J_D \omega_2 \omega_3 \sin q_2 = T_1 \quad (1)$$

$$(I_C + I_D) \dot{\omega}_2 + J_1 \omega_3^2 \sin q_2 \cos q_2 + J_D \omega_1 \omega_3 \sin q_2 = T_2 \quad (2)$$

$$(J_2 - J_1 \sin^2 q_2) \dot{\omega}_3 + J_D \dot{\omega}_1 \cos q_2 - J_D \omega_1 \omega_2 \sin q_2 - J_1 \omega_2 \omega_3 \sin 2q_2 = 0 \quad (3)$$

ただし, 各パラメータは以下のように定義する.

I_D, J_D : Rotor1 の慣性モーメント [kg · m²]

I_C, J_C, K_C : Gimbal2 の慣性モーメント [kg · m²]

J_B : Gimbal3 の慣性モーメント [kg · m²]

$J_1 = J_C + J_D - K_C - I_D, J_2 = J_B + J_C + J_D$

ここで, Gimbal3 が初期状態において静止している場合, 式 (3) から得られる拘束条件は次式となる.

$$(J_2 - J_1 \sin^2 q_2) \omega_3 + J_D \omega_1 \cos q_2 = 0 \quad (4)$$

式 (4) には, Rotor1 の角速度 ω_1 と Gimbal3 の角速度 ω_3 が含まれている. このようなシステムは一階非ホロノミックシステムと呼ばれ, 平衡点における線形近似系が可制御でなく, 時不変な状態フィードバックを用いて安定化できない. そこで, 非ホロノミックシステムの正準系として知られる Chained system に変換し, 時変コントローラを用いて CMG の安定化を図る. システムの状態変数を $x = [x_1 \ x_2 \ x_{3c}]^T$, 入力を $u = [u_1 \ u_2]^T$ とすると, Chained system は次のようになる.

$$\begin{cases} \dot{x}_1 = u_1 \\ \dot{x}_2 = u_2 \\ \dot{x}_{3c} = x_2 u_1 \end{cases} \quad (5)$$

ただし, q_2 には次のような拘束があり, また変数は以下で定義される.

$$-\frac{\pi}{2} < q_2 < \frac{\pi}{2} \quad (6)$$

$$\begin{cases} x_1 = q_1 \\ x_2 = \alpha(q_2) \\ x_{3c} = q_3 \end{cases} \begin{cases} u_1 = \omega_1 \\ u_2 = \beta(q_2) \omega_2 \end{cases} \quad (7)$$

$$\alpha(q_2) = \frac{-J_D \cos q_2}{J_2 - J_1 \sin^2 q_2}, \beta(q_2) = \frac{d}{dq_2} \alpha(q_2) \quad (8)$$

本研究を行うにあたり, 参考にした文献 [1] では, Gimbal3 の応答が指令軌道を満足しなかった. Gimbal2 の角加速度 ω_2 は q_2 と q_3 それぞれの偏差に従属しており, その結果, q_2 が変動することにより, ω_2 と q_3 が変動する. よって, q_3 の偏差が十分大きいとき, q_2 は $\frac{\pi}{2}$ となり, 制御ができない. そのため, q_2 の指令軌道を固定して制御をおこなっていた. その場合, Rotor1 の回転を大きくする必要があり, トルク T_1 が大きくなってしまふ. 本研究ではこの問題を防ぐために, ω_2 を q_2 にのみ従属させ, ω_3 のみの変動により q_3 の偏差が定まるようし, q_2 を変動させ, より T_1 を抑える制御を考える. そのために Chained system について座標変換 $x_3 = x_{3c} - x_2 x_1$ を施すと, Chained system は次のように変形できる.

$$\begin{cases} \dot{x}_1 = u_1 \\ \dot{x}_2 = u_2 \\ \dot{x}_3 = -x_1 u_2 \end{cases} \quad (9)$$

このシステムを用いて制御系設計をおこなう.

3 制御系設計

得られた Chained system について, 追従制御を考える. 指令軌道 $x_r = [x_{1r} \ x_{2r} \ x_{3r}]^T$ は Chained system

$$\begin{cases} \dot{x}_{1r} = u_{1r} \\ \dot{x}_{2r} = u_{2r} \\ \dot{x}_{3r} = -x_{1r} u_{2r} \end{cases} \quad (10)$$

を満足し, また軌道偏差を $x_e = [x_{1e} \ x_{2e} \ x_{3e}]^T$ とし, 軌道偏差は次の式を満足する.

$$x_{ie} = x_i - x_{ir} \quad (11)$$

軌道偏差のダイナミクスは式 (9), (10), (11) を用いて次のように表される.

$$\begin{cases} \dot{x}_{1e} = u_1 - u_{1r} \\ \dot{x}_{2e} = u_2 - u_{2r} \\ \dot{x}_{3e} = -x_1(u_2 - u_{2r}) - x_{1e}u_{2r} \end{cases} \quad (12)$$

この制御系に対し, Backstepping 変換手法に基づく制御系設計を行う. Subsystem Δ_1, Δ_2 を

$$\Delta_1 : \begin{cases} \dot{x}_{3e} = -x_1(u_2 - u_{2r}) - x_{1e}u_{2r} \\ \dot{x}_{1e} = u_1 - u_{1r} \end{cases} \quad (13)$$

$$\Delta_2 : \dot{x}_{2e} = u_2 - u_{2r} \quad (14)$$

とし, それぞれの Subsystem Δ_1, Δ_2 を安定化する入力 を設計する. はじめに, Δ_2 について, 状態フィードバック ゲイン $k_2 > 0$ を用いて \dot{x}_{2e} を安定化させる.

$$\dot{x}_{2e} = u_2 - u_{2r} = -k_2 x_{2e} \quad (15)$$

この状態フィードバックにより, $\dot{x}_{2e} \rightarrow 0$ において, $u_2 - u_{2r} \rightarrow 0$ が保証されるので, Δ_1 は次のようになる.

$$\Delta_1 : \begin{cases} \dot{x}_{3e} = -x_{1e}u_{2r} \\ \dot{x}_{1e} = u_1 - u_{1r} \end{cases} \quad (16)$$

この状態から, 残りの入力 u_1 を用いて $x_{1e} = 0, x_{3e} = 0$ となるような制御を考える. その結果, Δ_1 を安定化する入力 u_1 は次式となる.

$$u_1 = u_{1r} - L_1 x_{1e} - L_3 x_{3e} \quad (17)$$

ただし,

$$L_1 = k_1 + k_3 u_{2r}^2, \quad L_3 = -k_3 u_{2r} - k_1 k_3 u_{2r} \quad (18)$$

$(k_1 > 0, k_3 > 0)$

以上, 得られた入力を用いて, CMG の入力トルク T_1, T_2 を導出する. Rotor1, Gimbal2 の角加速度は次式となる.

$$\begin{aligned} \dot{\omega}_1 &= -G_1(u_1 - u_{1r} + L_1 x_{1e} + L_3 x_{3e}) \\ &\quad + u_{1r} - \dot{L}_1 x_{1r} - L_1(u_1 - u_{1r}) \\ &\quad - \dot{L}_3 x_{3e} - L_3(-x_1 u_2 + x_{1d} u_{2r}) \end{aligned} \quad (19)$$

$$\begin{aligned} \dot{\omega}_2 &= \frac{1}{\beta(q_2)}(-G_2(u_2 - u_{2r} + k_2 x_{2e}) \\ &\quad - \beta(q_2)\omega_2 + \dot{u}_{2r} - k_2(u_2 - u_{2r})) \end{aligned} \quad (20)$$

また, 角加速度 $\dot{\omega}_3$ は式 (3) より, 次式で与えられる.

$$\dot{\omega}_3 = \frac{-J_D \dot{\omega}_1 \cos q_2 + J_D \omega_1 \omega_2 \sin q_2 + J_1 \omega_2 \omega_3 \sin 2q_2}{J_2 - J_1 \sin^2 q_2} \quad (21)$$

式 (19), (20), (21) を (1), (2) に代入することで CMG のトルク T_1, T_2 は求まる.

4 シミュレーションと実験

設計した制御系を用いてシミュレーションを行い, その結果を基に実験をおこなう.

$$x(0) = [0 \quad -\frac{\pi}{4} \quad 0 \quad 0]^T \quad (22)$$

とし, 指令軌道 q_{2r}, q_{3r} を次式のように与える.

$$\begin{cases} q_{2r} = \frac{1}{2} \sin(t) - \frac{\pi}{4} \\ q_{3r} = \sin(\frac{\pi}{2}t) \end{cases} \quad (23)$$

指令軌道 q_{1r} は次式の数値積分によって生成される.

$$\dot{q}_{1r} = \frac{-J_2 + J_1 \sin^2 q_{2r}}{J_D \cos q_{2r}} \dot{q}_{3r} \quad (24)$$

また, ゲインチューニングを次のようにする.

$$\begin{cases} k_1 = 8, k_2 = 10, k_3 = 1 \\ G_1 = 0.1, G_2 = 10 \end{cases} \quad (25)$$

実験結果を次の図 2, 3, 4 に示す. 点線が指令軌道, 実線が実際の応答である.

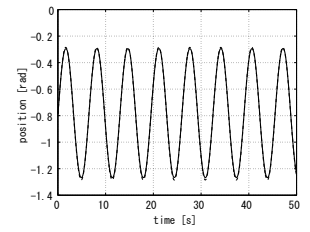
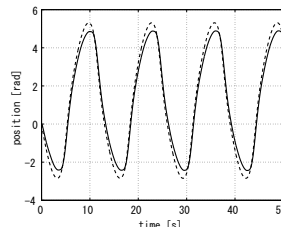


図 2 Response of Rotor1

図 3 Response of Gimbal2

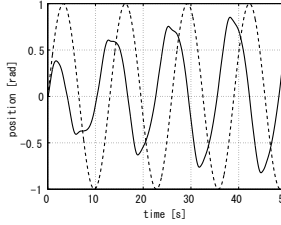


図 4 Response of Gimbal3

q_1 の応答は指令軌道に対し, 小さな誤差がみられるが, 概ね指令軌道に追従しているといえる. q_2 は指令軌道に偏差なく追従しているといえる. しかし, q_3 は, 指令軌道と応答に大きな差があることがわかる. トルク T_1, T_2 の結果を次に示す.

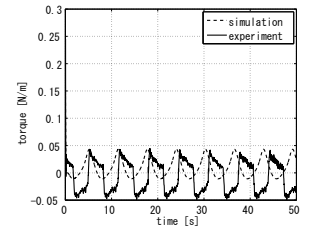
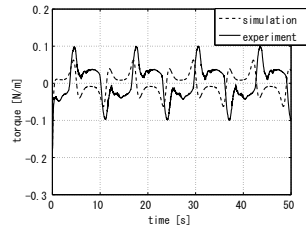


図 5 Response of Torque T_1

図 6 Response of Torque T_2

トルクの制限は $-0.67 \leq T_1 \leq 0.67$, $-2.4 \leq T_2 \leq 2.4$ であり, 制限内に抑えられていることがわかる.

5 考察

本研究の成果は次の点である.

1. 駆動源のない Gimbal3 を Rotor1, Gimbal2 を使って指令軌道に追従させる課題に対し, Chained system を用いて制御系設計を行った.
2. 設計した制御系を用いて, シミュレーションと実験結果の比較を行った.

これまでの研究では, 良好な実験結果を得ることができなかった. 特に, Gimbal3 については立ち上がりの応答から周期がずれており, その後も周期がずれたままの軌道となっている. 今後は, 各 Gimbal のシミュレーション結果との差が生まれる原因を探し, 応答の改善をしていきたい.

参考文献

- [1] 太田清士郎: 一階非ホロノミック拘束を持つ Control Moment Gyro の非線形制御, 南山大学 数理情報学部 情報システム数理工学卒業論文, 2011